МИНИСТЕРСТВО ОБРАЗОВАНИЯ И НАУКИ РЕСПУБЛИКИ КАЗАХСТАН КАЗАХСКИЙ НАЦИОНАЛЬНЫЙ ИССЛЕДОВАТЕЛЬСКИЙ ТЕХНИЧЕСКИЙ УНИВЕРСИТЕТ имени К.И.САТПАЕВА



Институт геологии и нефтегазового дела имени К. Турысова Кафедра: Геофизика

Комплексная интерпретация материалов ГИС

для специальности 7М07105 «Нефтегазовая и рудная геофизика»

Истекова С.А., докт. геол.-минерал. наук, проф. каф. Геофизики

АЛМАТЫ 2023

ОБРАБОТКА И ИНТЕРПРЕТАЦИЯ ДАННЫХ ЭЛЕКТРИЧЕСКИХ МЕТОДОВ Лекция 5

Электрические параметры бурового раствора, фильтрата и глинистой корки

Параметры пластов, подлежащие определению

- Сопротивление промытой зоны пласта
- Истинное сопротивление пласта и параметры зоны проникновения (диаметр и сопротивление)
- Границы пластов различного сопротивления
- Литологический состав и характер насыщения

Необходимая дополнительная информация

- Условия измерений (диаметр скважины и установка прибора
- Электрические параметры бурового раствора, фильтрата и глинистой корки
- > Толщина глинистой корки

Электрические параметры бурового раствора, фильтрата и глинистой корки

 Геофизические исследования обычно проводятся в скважинах, заполненных промывочной жидкостью или глинистым раствором, представляющим собой суспензию твердых глинистых частиц в воде.

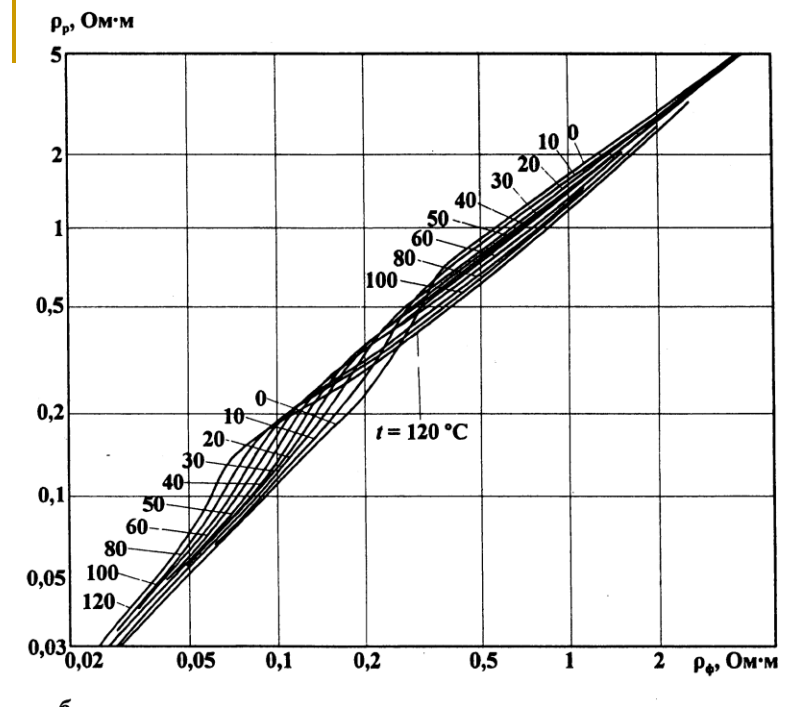
Различают удельное сопротивление глинистого раствора **ρ**_ρ, находящегося в скважине, и удельное сопротивление его фильтрата **ρ**ф в зоне проникновения.

 Обычно удельное сопротивление последнего отличается от сопротивления раствора.

Удельное электрическое сопротивление бурового раствора определяют

- с помощью скважинного резистивиметра (при этом значение ρ_р соответствует температуре пласта), поверхностного резистивиметра при температуре эксперимента (при этом требуется приведение ρ_p к пластовой температуре).
- Уточнение р₀ производится при интерпретации данных БЭЗ в плотном пласте большой толщины без проникновения фильтрата бурового раствора в пласт

Для нахождения рф по рр используют график, приведенный на рис.3





раствора не превышает $1,3-10^3$ кг/м3, в случае утяжеленных растворов - график, представленный на рис.б. Для введения температурных поправок в значения рф и в первом приближении в значения рр можно пользоваться

Рис 3 а - если плотность

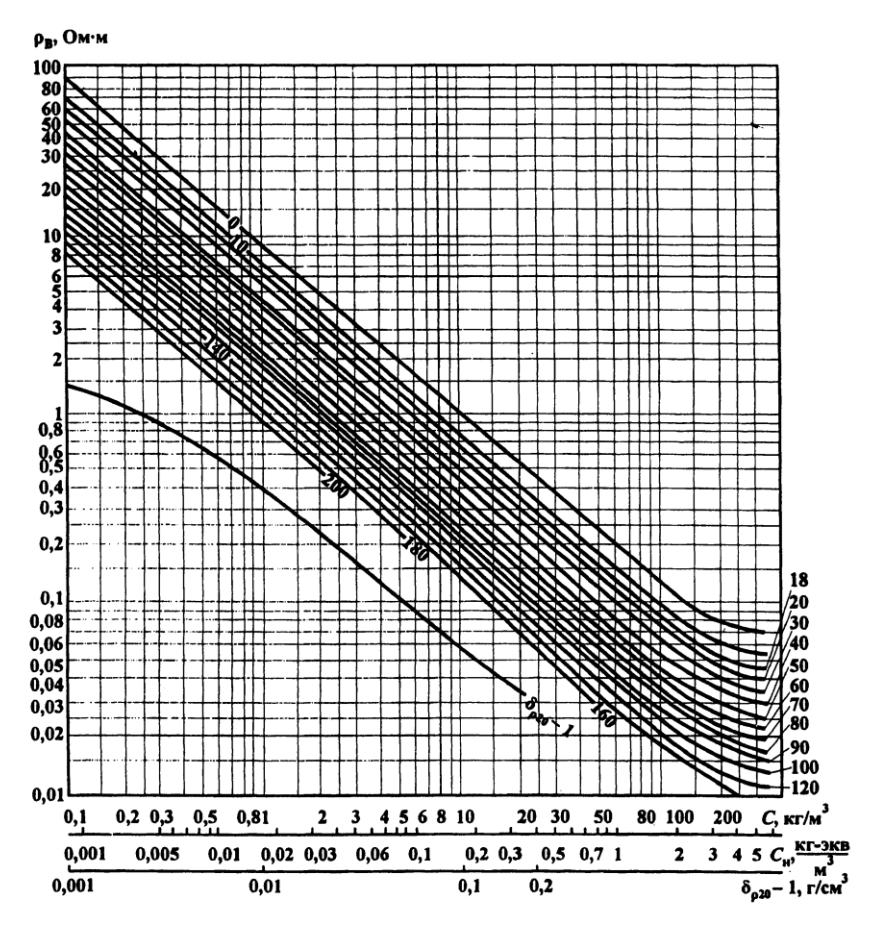
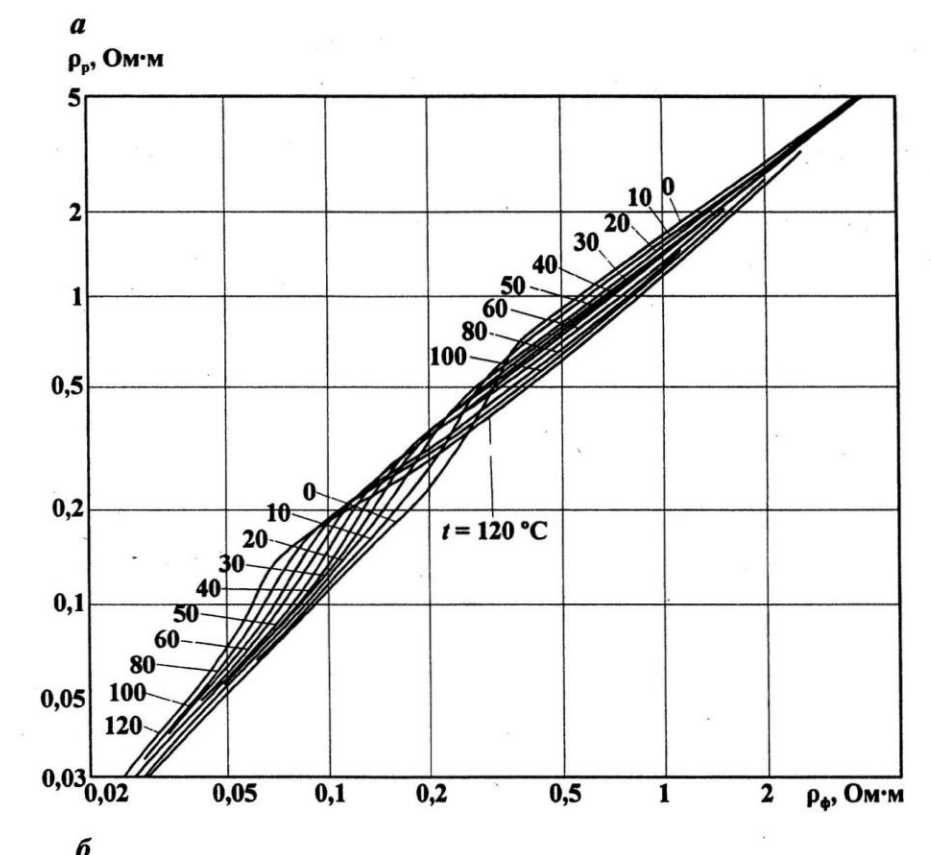
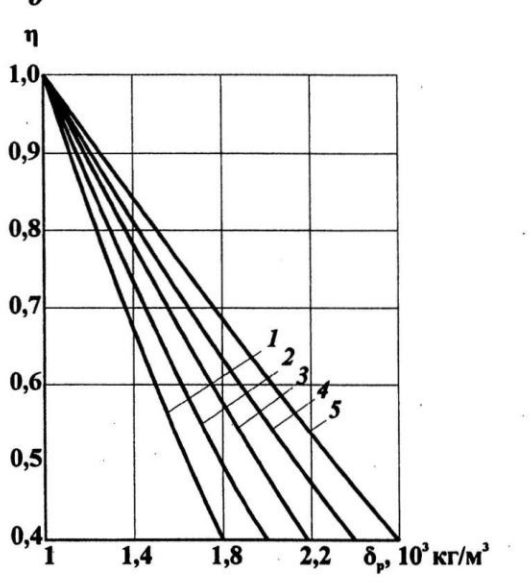


Рис. 1. Зависимость удельного электрического сопротивления пластовых вод от концентрации и плотности раствора NaCl. Шифр кривых -t, °С

Пример: Определить удельное сопротивление фильтрата бурового раствора, если его плотность 1,2-10³ кг/м3, удельное сопротивление бурового раствора рр = 1,6 Ом-м и температура в исследуемом интервале t = 36 °C. Для определения Рф выбираем соответствующую кривую на а. Для заданных условий рф= 1,2 Ом-м.





Зависимость Рф от Рр и t при $\sigma_{\rm P}$ < 1,3.10³ кг/м3 (а) и

 $\eta = Q_{pp} / Q_p$ от σ_p для тяжелых растворов (б):

1 - чистая глина;

2 - то же + 20 % барита или 23 % гематита;

3 - то же + 40 % барита или 46 % гематита;

4 - то же + 60 % барита или 70 % гематита;

5 -то же + 90 % барита

Для вычисления удельного сопротивления

 промытой части пласта Рпп в зоне проникновения глинистого песчаника следует использовать параметр пористости Рп.п пресн. измененный за счет поверхностной проводимости согласно формуле

 $\rho_{3\pi} \leq \rho_{\pi\pi} = P_{\pi,\pi pech} \, \rho_{\Phi} = \Pi P_{\pi} \, \rho_{\Phi}.$

 При изменении глинистости от 0 до 15 % и Рф = 2,4 Омм П = 0,65-5-1,00 и, следовательно,

$$\rho_{\text{пп}} = 12,4(0,65 \div 1,00)2,4 = 19,3 \div 29,8 \text{ Om·m}.$$

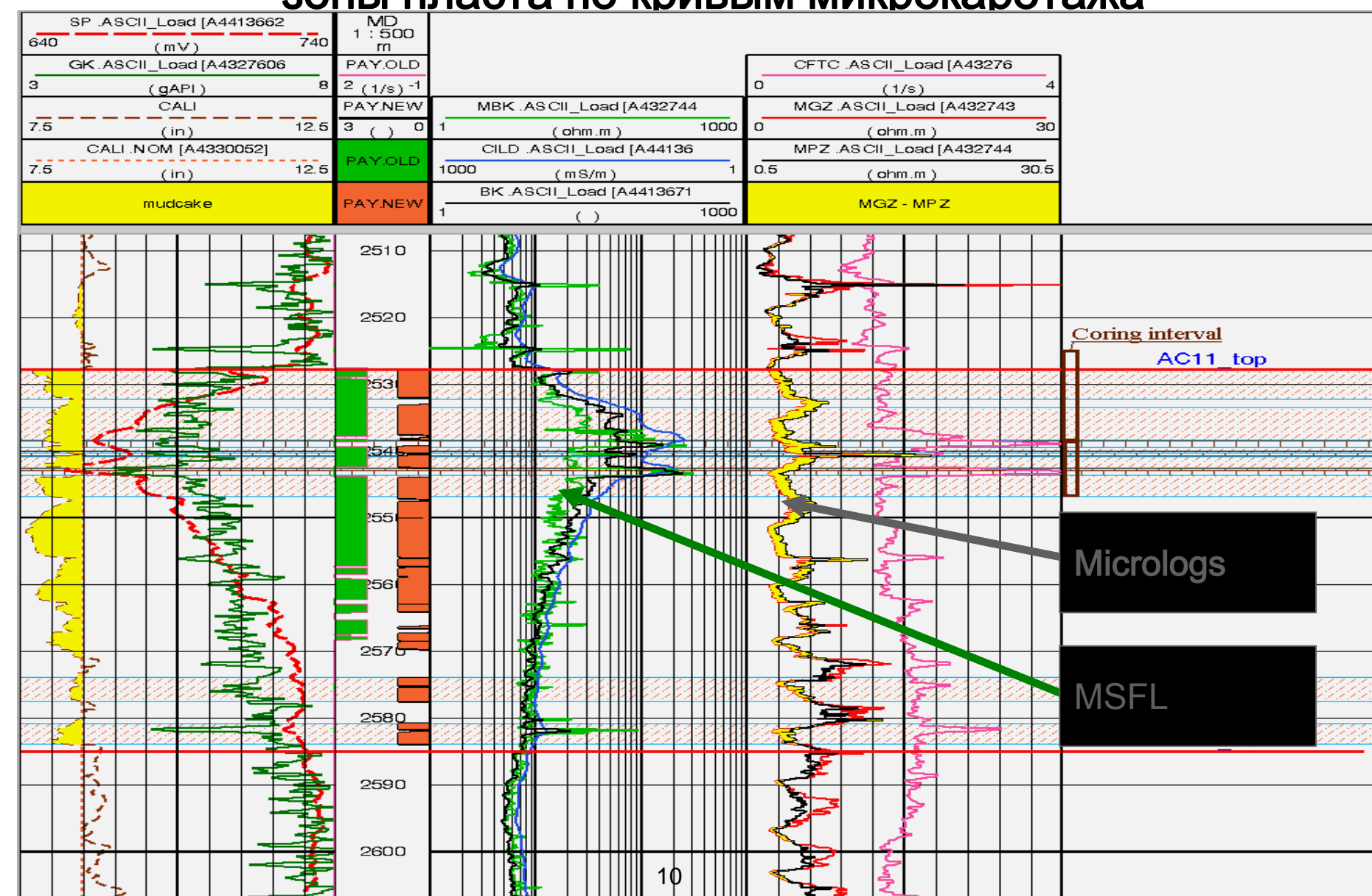
ЗАДАЧИ 1

2. Найти удельное сопротивление пластовой воды, если ее плотность 1,18 г/см³ при t=20 °C.

Привести удельное сопротивление этой воды к пластовым условиям при t=65 °C.

- **3.** Найти пределы изменения удельного сопротивления пластовой воды для свиты медистых песчаников месторождения Шебелинка, если плотность воды в среднем равна 1,17·10³ кг/м³, а пластовая температура варьирует от 50 до 75 °C.
- 4. Привести удельное сопротивление глинистого раствора к условиям t=18 °C, если по данным поверхностного резистивиметра его удельное сопротивление при t=7 °C равно 2,6 Ом·м.
- **5.** Определить удельное сопротивление раствора и его фильтрата в скважине для условий задачи 4, если температура против пласта 82 °C, $\delta_p = 1,3\cdot 10^3$ кг/м³.

Определение сопротивления промытой зоны пласта по кривым микрокаротажа

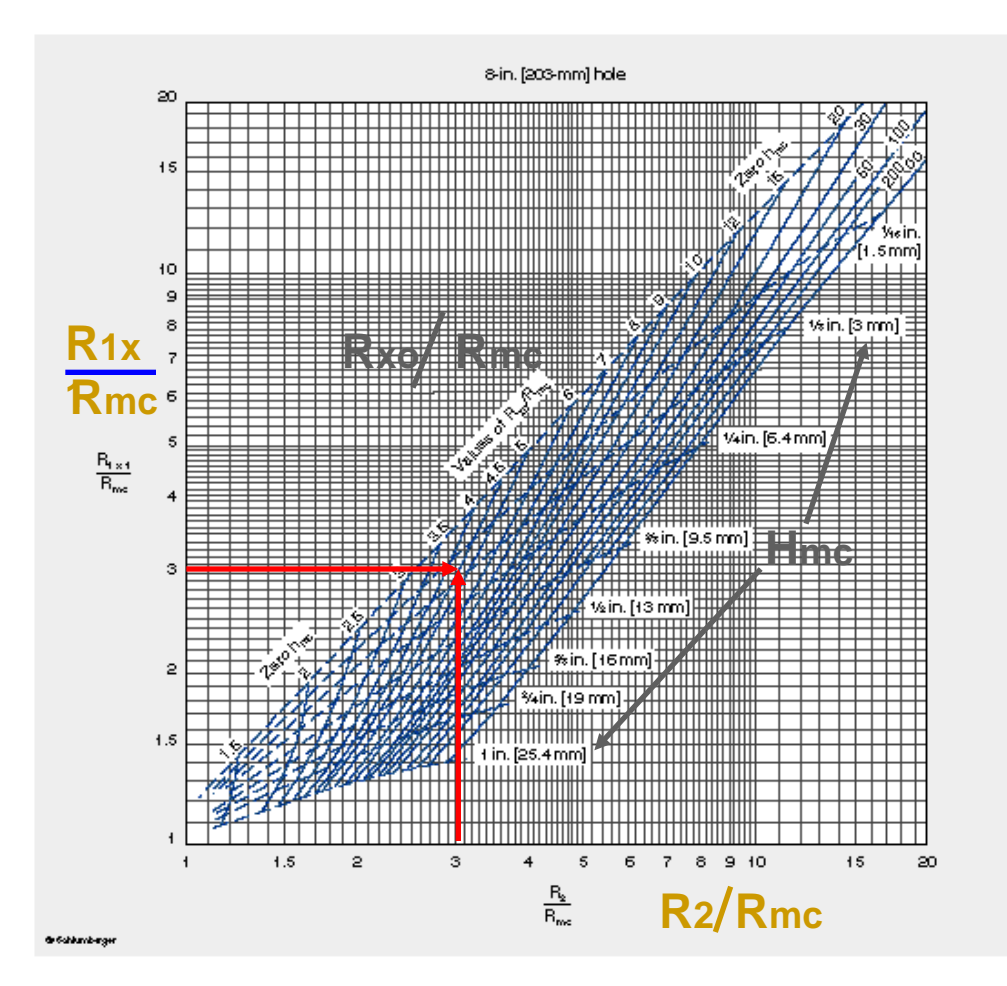




Microlog Interpretation Chart

Schlumberger

Roo-1



Enter the chart with the ratios $R_{1\times1}/R_{mc}$ and R_2/R_{mc} . The point of intersection defines the R_{m}/R_{mc} ratio and the mudcake thickness, h_{mc} . Knowing R_{mc} , R_{mc} can be calculated.

For hole sizes other than 8 in. [203 mm], multiply $R_{\rm 1id}/R_{\rm me}$ by the following factors before entering the chart: 1.15 for 4%-in. [120-mm] hole, 1.05 for 6-in. [152-mm] hole, and 0.93 for 10-in. [254-mm] hole.

Note: An incorrect R_{ms} will displace the points in the chart along a 45° line. In certain cases this can be recognized when

the mudcake thickness is different from direct measurement by the microcaliper. To correct, move the plotted point at 45° to intersect the known h_{me} For this new point, read R_{zo}/R_{me} from the chart and R_2/R_{me} from the bottom scale of the chart.

$$R_{xo} = R_2 \left(\frac{R_{xo} / R_{me}}{R_2 / R_{me}} \right)$$

Микрозонды -Micrologs

Определение сопротивления промытой зоны Rxo и толщины глинистой корки Hmc

Resistivity In The Flushed Zone

$$\frac{Rxo}{Rmf} = F = \frac{a}{\phi^{m}}$$

F = Formation Factor Rxo = Resistivity of the flushed

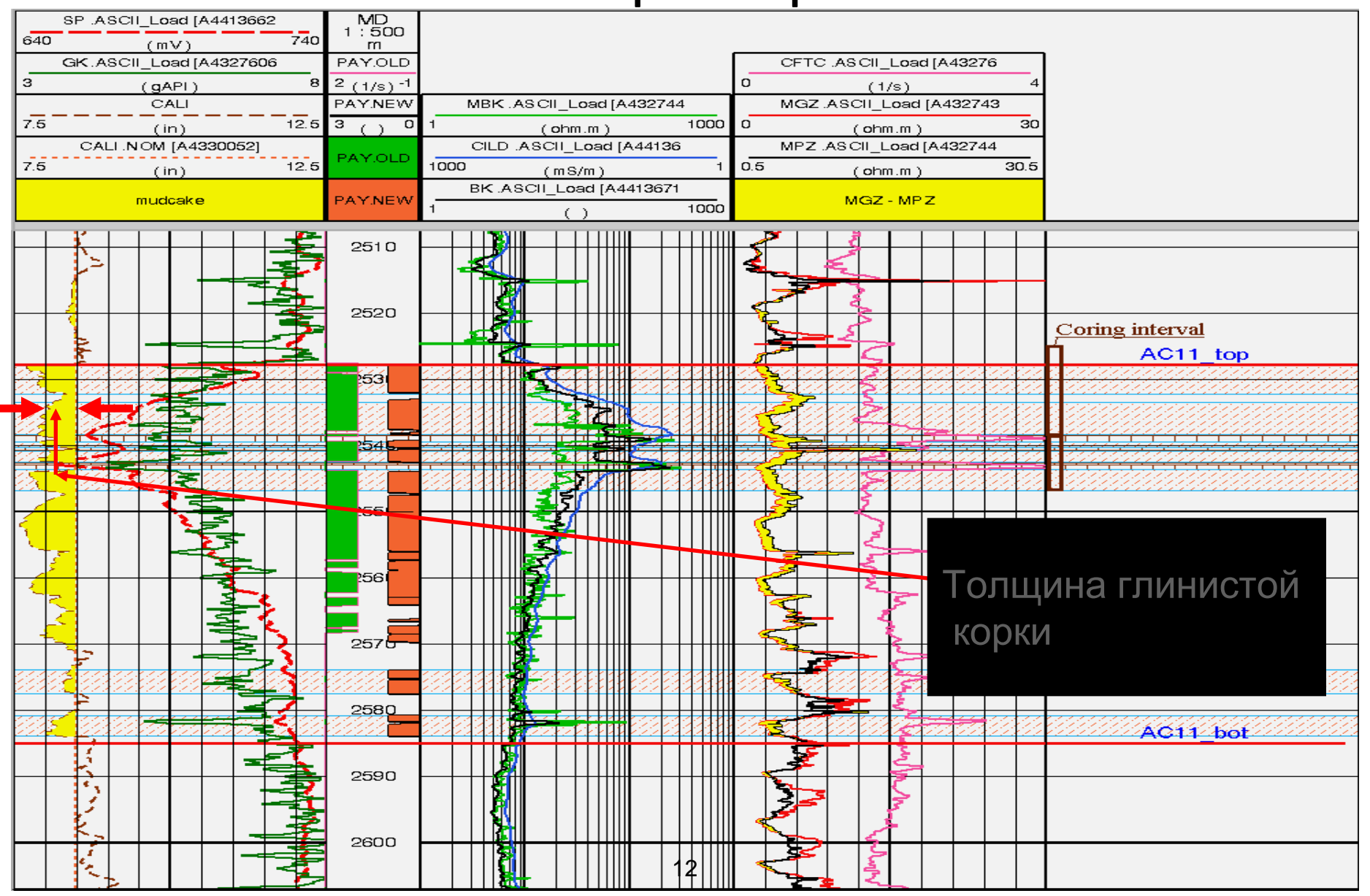
zone

Rmf = Resistivity of the mud filtrate

φ = Porosity, fractionHowever this only workswhere Sxo is 100% water.

Rbe

Определение толщины глинистой корки по кавернометрии



- В каверне при относительно низком сопротивлении окружающих пород (глин) и условии, что башмак микрозонда не касается стенки скважины, регистрируется обычно кажущееся сопротивление. близкое к сопротивлению глинистого раствора (ρ_к = ρ_p).
- В плотных, а также в трещиноватых породах высокого сопротивления показания микрозондов зависят от условий прилегания башмака к неровной стенке скважины.
- Поскольку башмак микрозонда отделен от плотной породы очень неравномерным по толщине слоем глинистого раствора, то регистрируются резко дифференцированные кривые при достаточно высоких показаниях на диаграммах обоих зондов. Аналогично отмечаются пористые, но слабопроницаемые и неразрушающиеся разности (глинистые песчаники, глинистые алевролиты).
- Они отличаются от плотных пород только несколько меньшими значениями рк.

- Фильтрующие пласты, на поверхности которых образуется глинистая корка, отмечаются несовпадающими средними показаниями обоих микрозондов (Ркгмз < Ркпмз)-
- Показания Ркгмз градиент-микрозонда, имеющего меньшую глубину исследования, определяются удельным сопротивлением глинистой корки Ргк, с которой соприкасается башмак микрозонда.
- Значение Ргк обычно несколько больше или близко к Рр, и кажущееся сопротивле-ние градиент-микрозонда бывает несколько выше, чем рк в каверне.
- Показания Ркпмз потенциал-микрозонда, обладающего относительно большей глубиной исследования, зависят от сопротивления промытой части пласта-коллектора Рпп.
- В связи с этим Ркпмз в обычных условиях больше, чем Ркгмз-
- Это соотношение может нарушиться, если глинистая корка имеет большую толщину или отсутствует.
- Тогда показания обоих микрозондов практически совпадают.

Индукционный метод

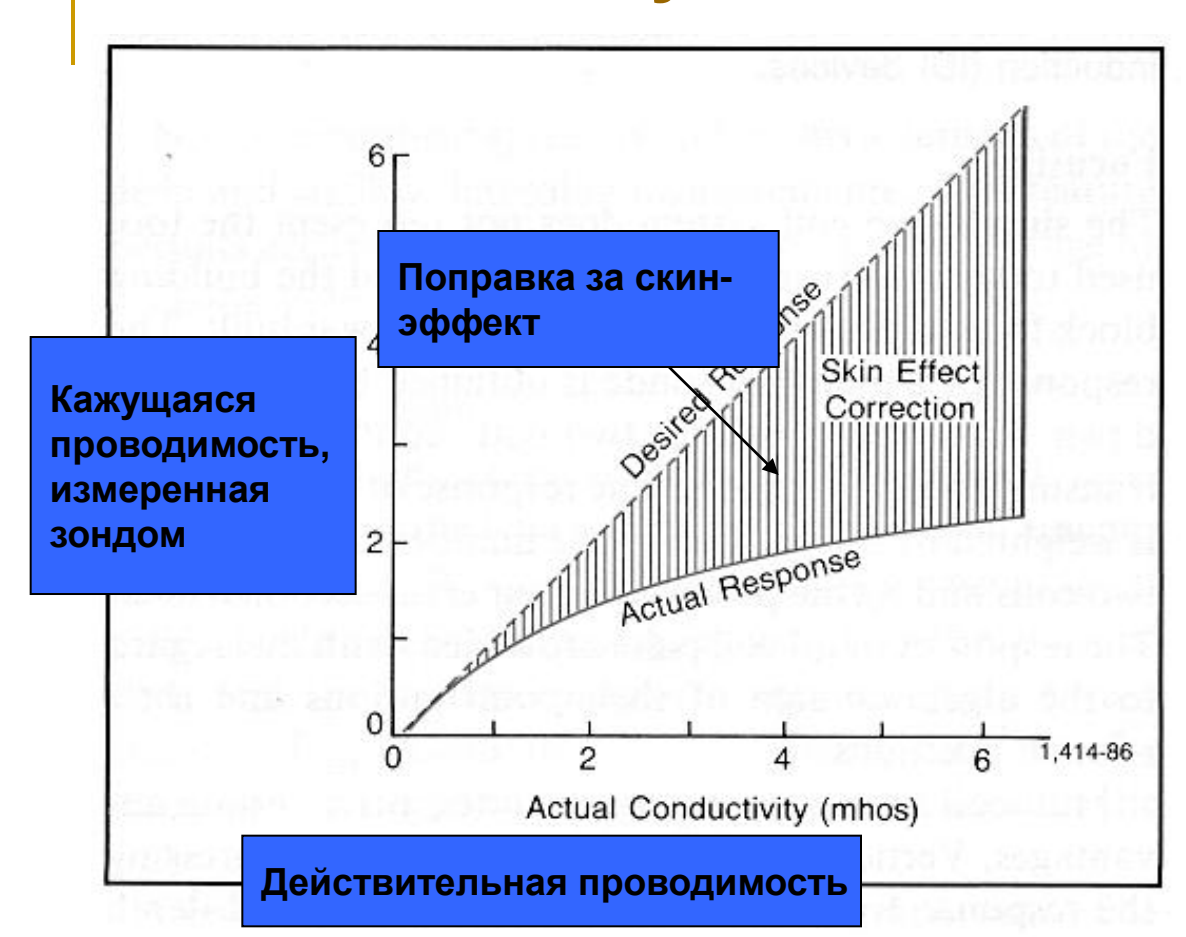
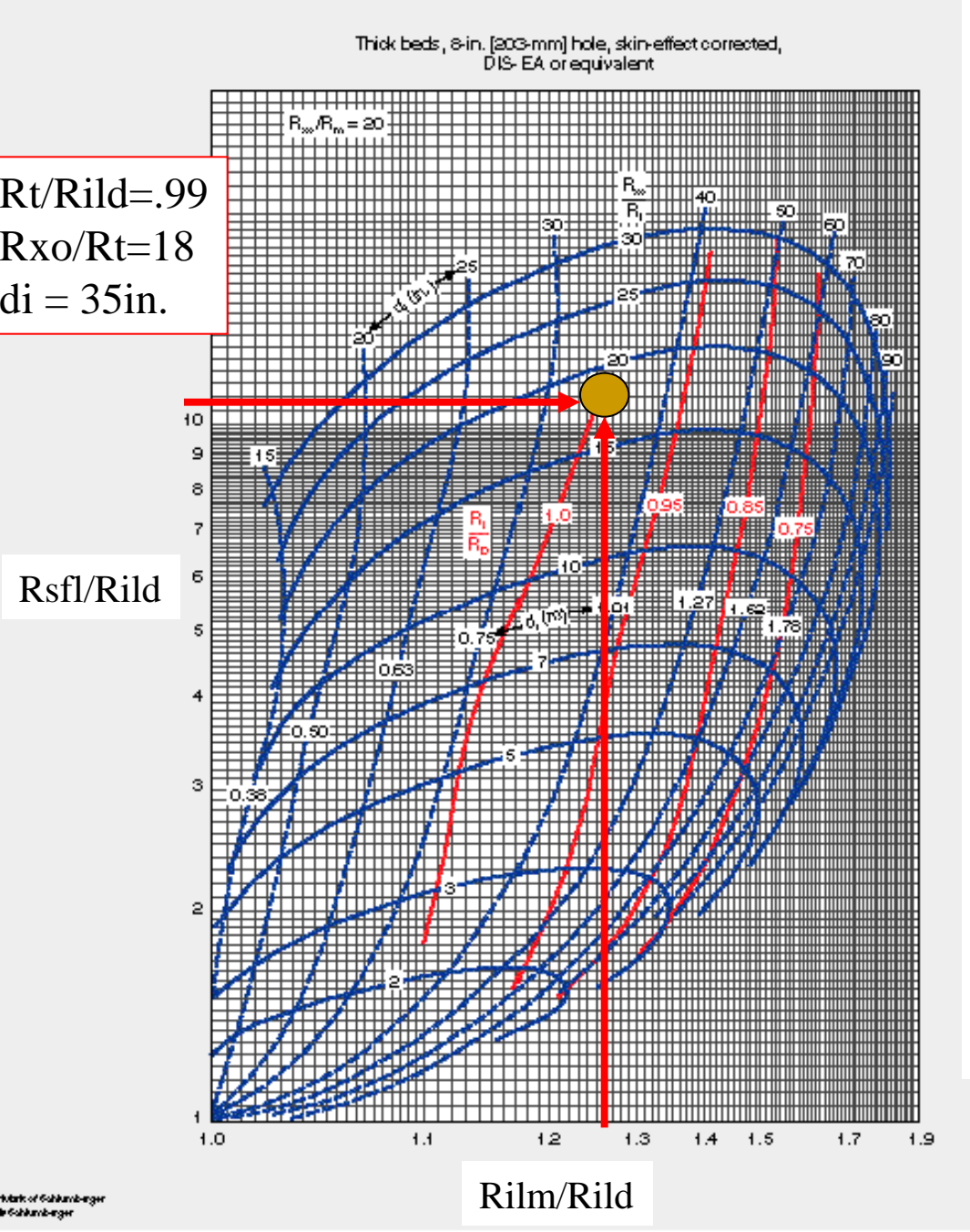


Fig. 7-20—Actual response of an induction log compared to the "desired" response.

Влияющие эффекты:

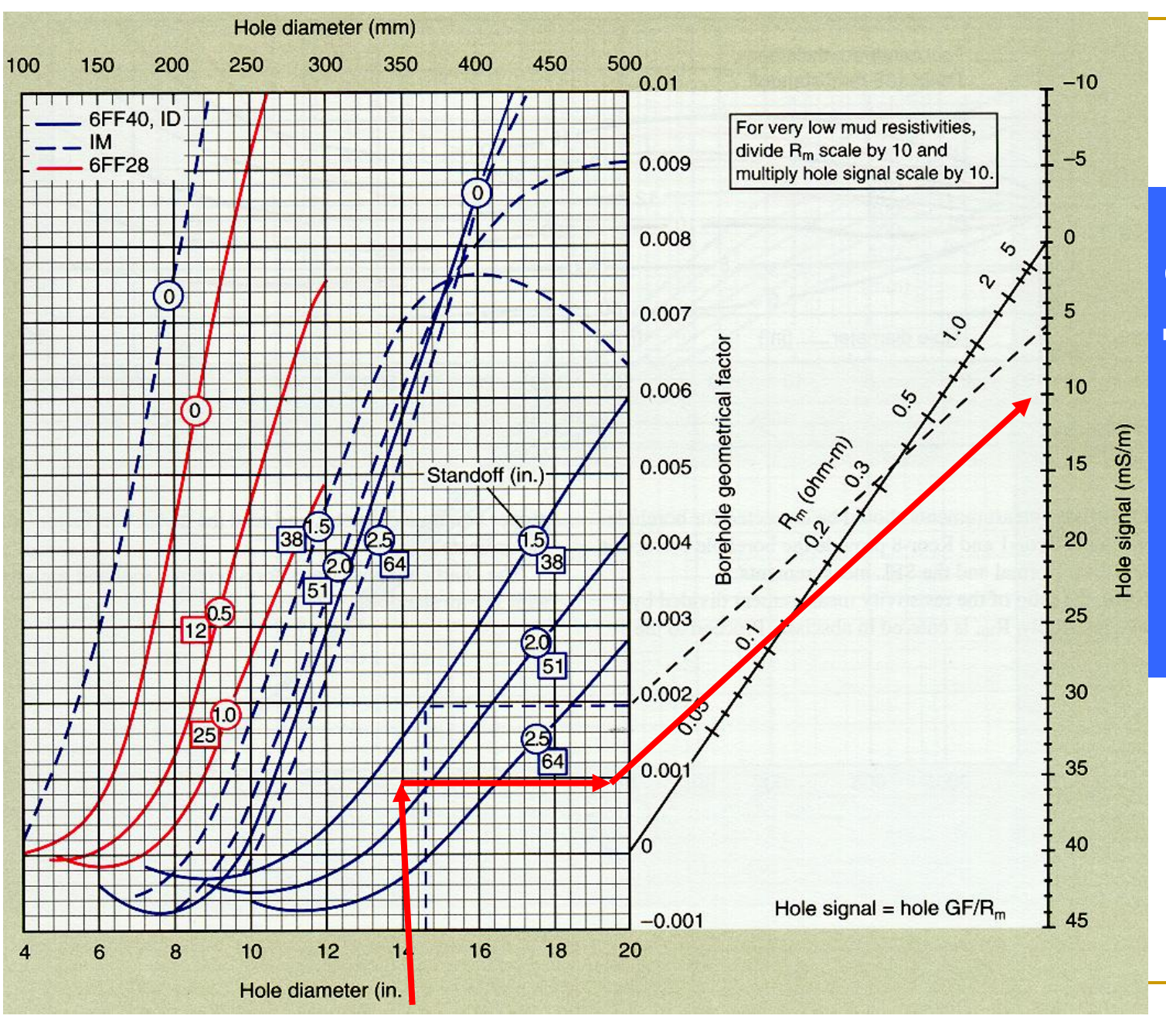
- Скин-эффект
- Диаметр скважины
- Вмещающие породы
- Наклонное падение слоев
- Геометрический фактор
- Зона проникновения

Действительный отклик индукционного каротажа в сравнении с ожидаемым



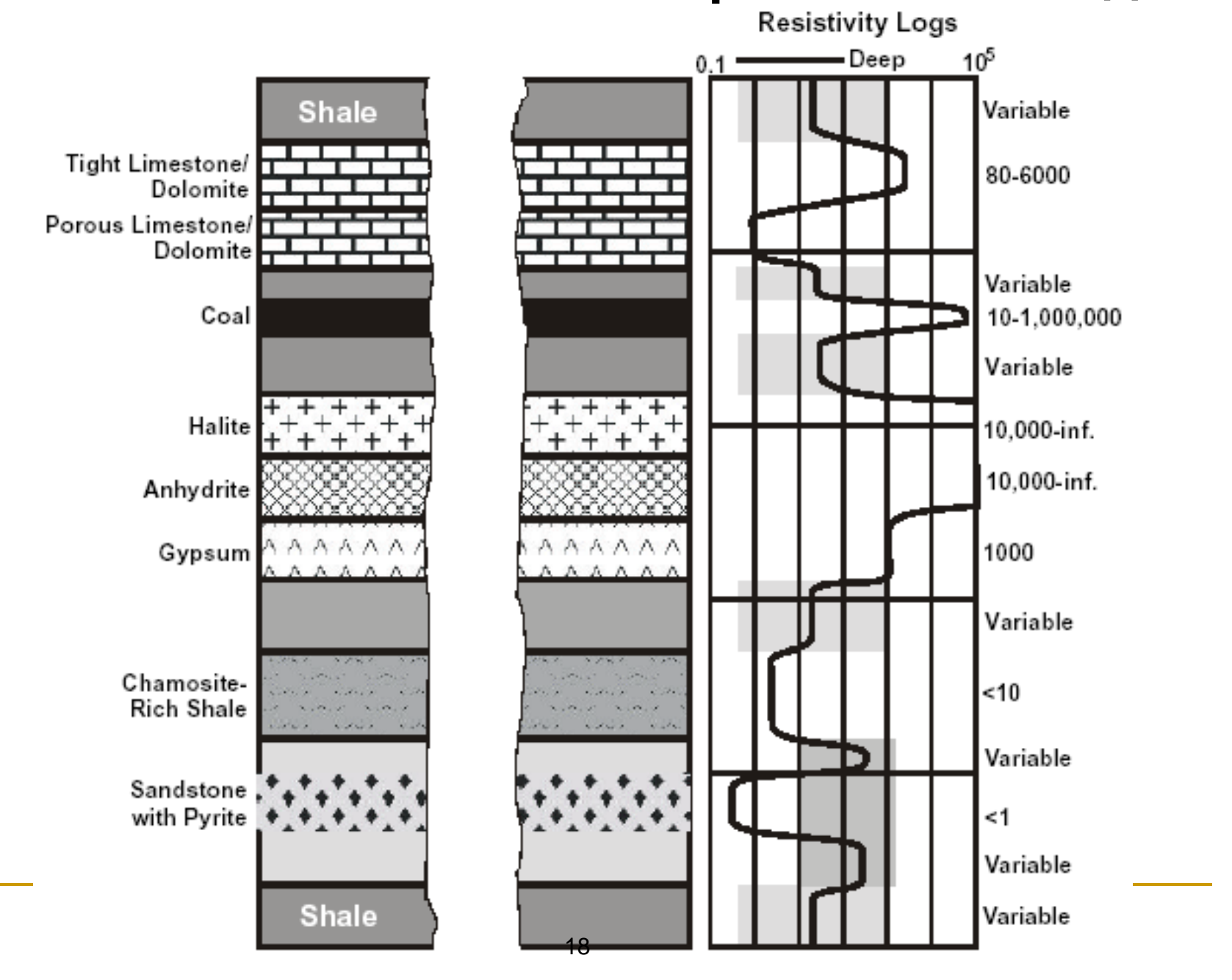
Индукционный — боковой каротажи (DIL-SFL) — коррекция за зону проникновения и определение Rt

Вводят отношения Rsfl/Rild и Rilm/Rild и определяют отношение Rt/Rild, диаметр проникновения (di) и отношение Rxo/Rt. Диаграмма предполагает толстые слои (16 ft – 4.8 м), последовательное проникновение в пласт и пресный буровой раствор. Каждая комбинация измерений будет иметь свою собственную Торнадо номограмму, так что необходимо тщательно знать входное значение Rxo для выбора номограммы и тип индукционного зонда. Коррекция измерений за скважинные условия должна производиться перед использованием номограммы для коррекции за проникновение

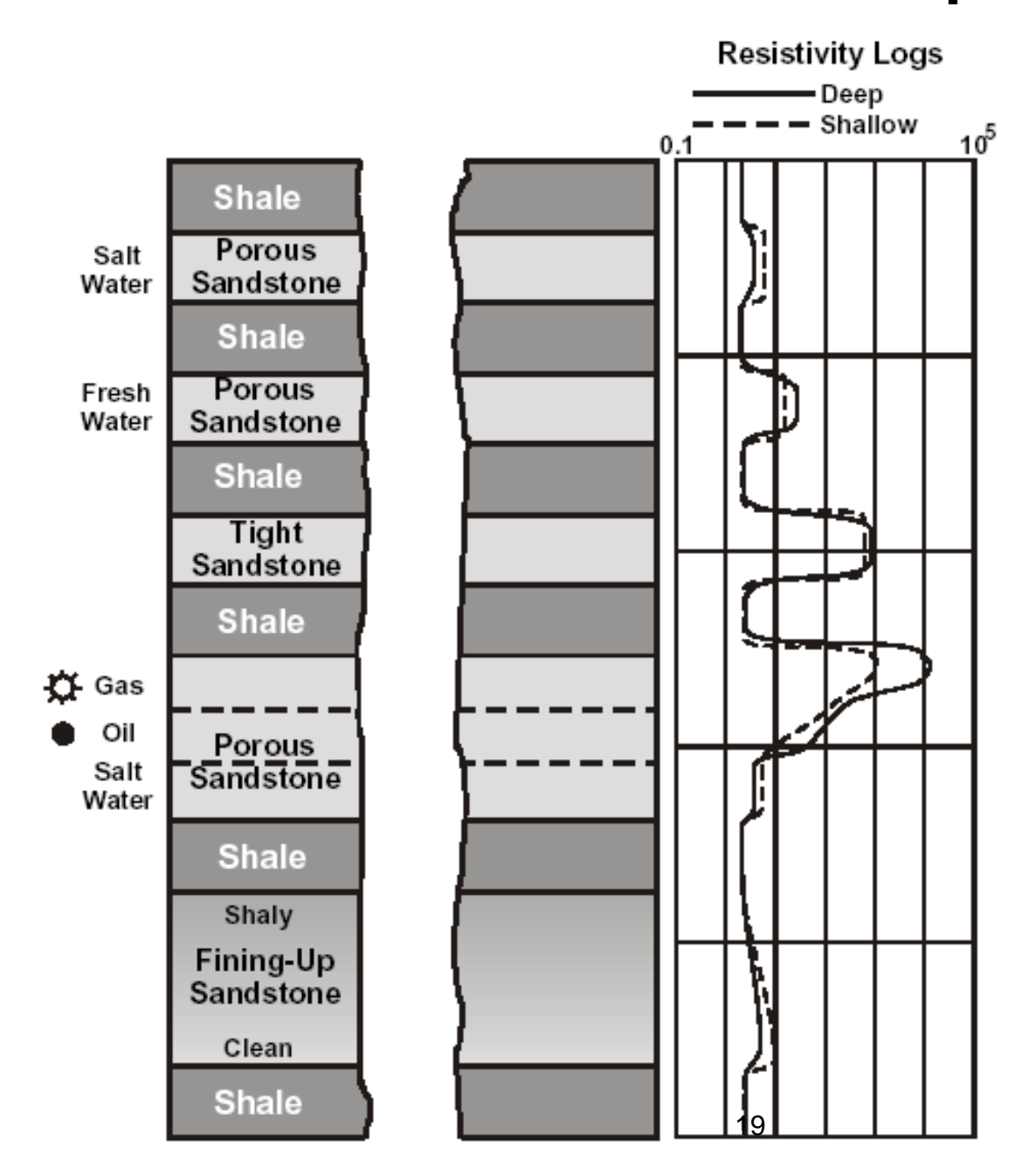


Коррекция за скважину Двойной индукционны й зонд - DIL

Литология и показания электрических методов

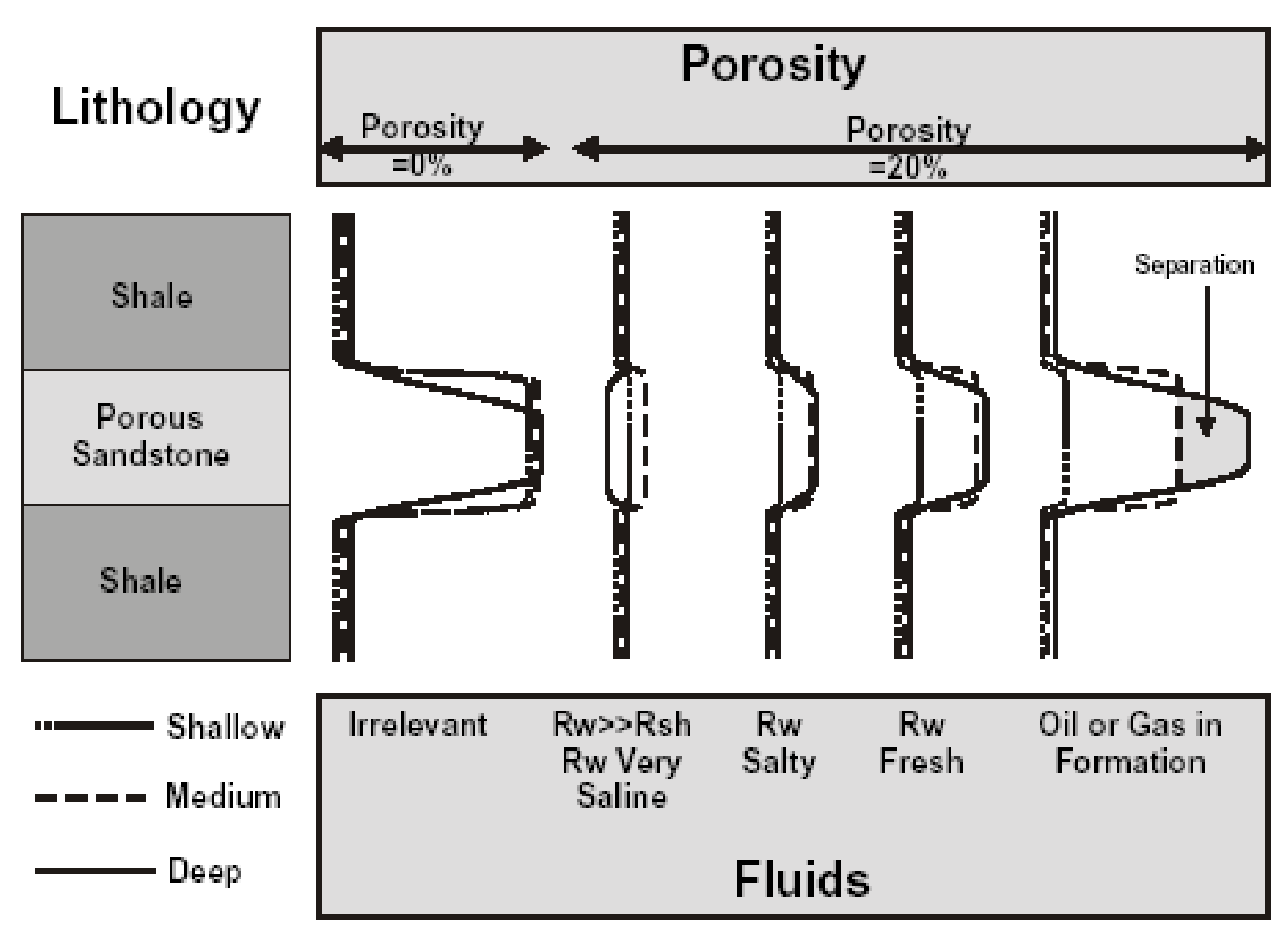


Литология и показания электрических методов



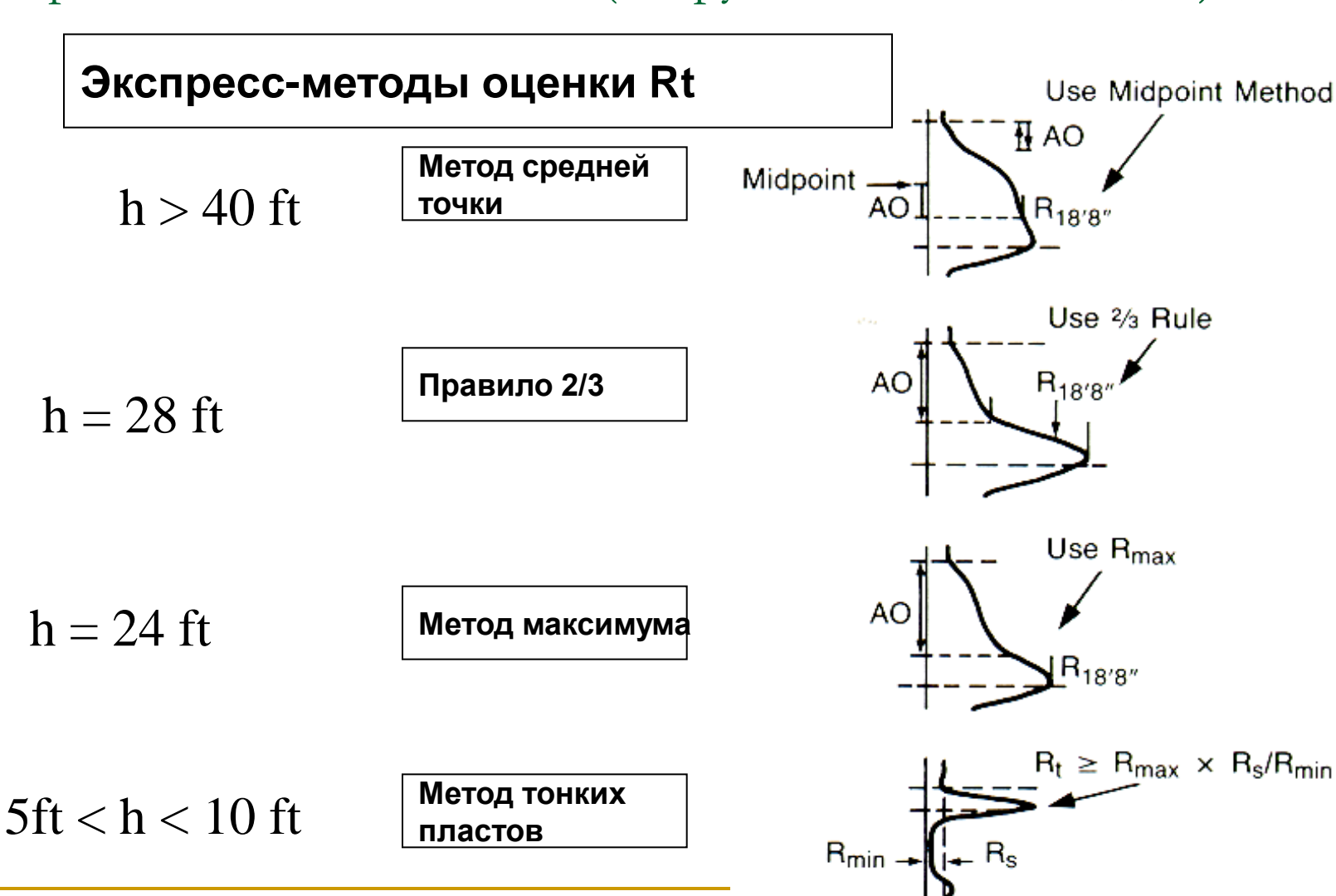
Песчаноглинистый разрез

Литология, насыщение пород и показания электрических методов



Метод КС - определение сопротивления пласта

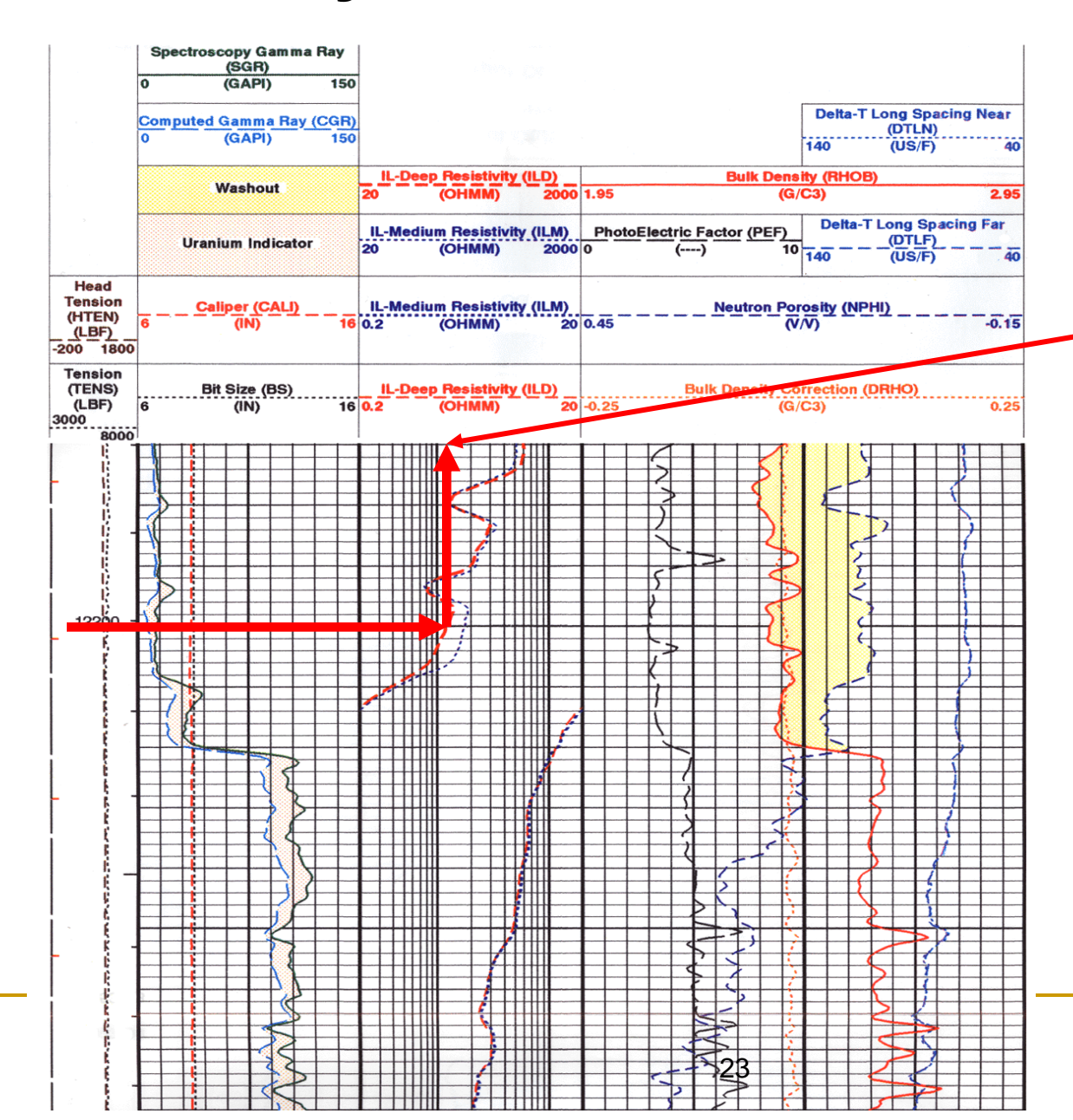
градиент-зонд 18'8"lateral (18 футов 8 дюймов – 5,6 м)



ИНДУКЦИОННЫЕ ЗОНДЫ

- В отличие от всех предыдущих методов сопротивления, диаграммы индукционных зондов записываются в масштабе кажущихся электропроводностей ок (в мСм/м) в линейном масштабе. Поэтому обработка диаграмм индукционного метода осуществляется по следующим схемам:
- σ κ \rightarrow σ κ1 \rightarrow Pκ1 \rightarrow Pκ2 \rightarrow Pk $^{∞}$
- $\sigma \kappa \rightarrow \rho \kappa \rightarrow \rho \kappa 1 \rightarrow \rho \kappa 2 \rightarrow \rho \kappa \infty$.
- Масштабы регистрации σ к для основного гальванометра выбирают в зависимости от электропроводности пластов в разрезе, но обычно не крупнее, чем 20-25 мСм/м в 1 см шкалы.
- В этом случае на расстоянии 1 см от нулевой линии электропроводности значение рк = 50-40 Ом-м, а нулевая линия электропроводности соответствует значению рк = ∞.
- Таким образом, масштаб диаграммы в пересчете на рк в первом сантиметре шкалы соответствует изменению удельного сопротивления от 50-40 Ом-м до ∞.
- Такое загрубление масштаба составляет существенный недостаток индукционного метода, ограничивающий его применение верхним пределом рк = 40-50 Ом-м (на практике даже ниже).

Индукционный метод



Определение измеренного сопротивления пласта по диаграмме

ОПРЕДЕЛЕНИЕ ЭЛЕКТРИЧЕСКИХ СВОЙСТВ ПОРОД ПО ДАННЫМ ВИКИЗ

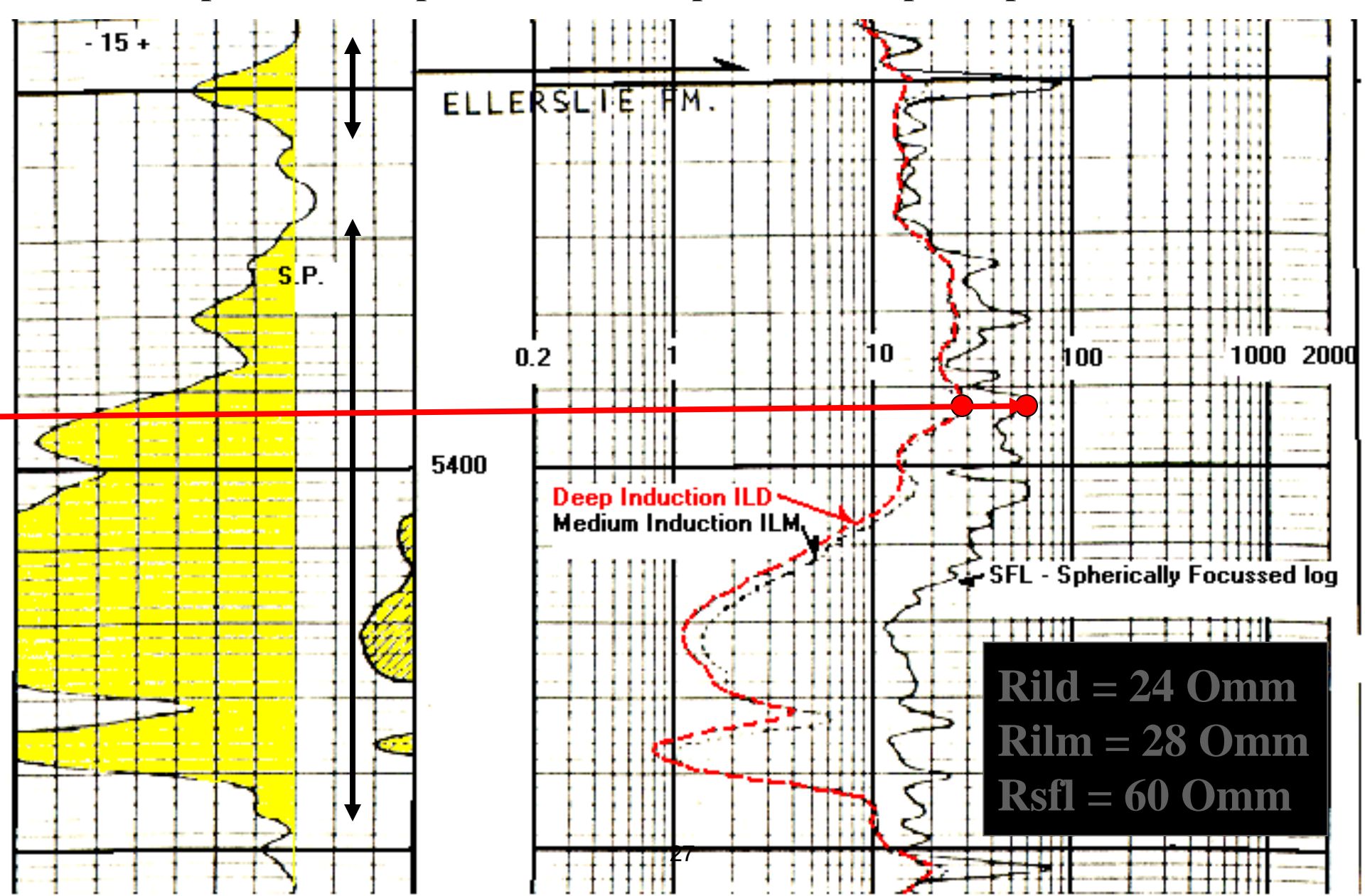
- Метод ВИКИЗ (высокочастотное индукционное каротажное изопараметрическое зондирование) представляет собой изучение электрических свойств пород в разрезах нефтяных и газовых скважин с помощью пяти зондов разных размеров, различающихся глубинностью исследований.
- Метод характеризуется высокой вертикальной разрешающей способностью и может использоваться как на качественном, так и на количественном уровне.

- На качественном уровне метод используется для литологического расчленения пород в разрезе скважин, выделения коллекторов, определения их эффективной толщины, характера насыщения.
- Количественно метод позволяет оценить удельное сопротивление пласта коллектора, его зоны проникновения и размера зоны проникновения в скважинах, бурящихся на слабо-минерализованной (более 0,2 Омм) или непроводящей промы-вочной жидкости, а также в сухих скважинах.
- Особенностью метода является возможность определения параметров окаймляющей кольцевой зоны пласта, возникновение которой обусловлено осолонением пресного фильтрата бурового раствора при его взаимодействии с остаточной водой.
- Метод обладает при значительной глубинности высокой пространственной разрешающей способностью, что позволяет выделять и оценивать электрические характеристики тонких пластов.
- Положение границ пласта на кривых ВИКИЗ устанавливается по характерным точкам, соответствующим максимальному изменению сигналов с глубиной в показаниях трех средних зон-дов.
- Снятие отсчетов производится способом осреднения показаний зонда в пределах выделенных границ

.

- Алгоритм интерпретации сводится к переходу от разности фаз к удельному сопротивлению, учету влияния скважинных условий и вмещающих пород на показания зондов.
- Переход от показаний метода, выраженных в единицах разности фаз (Аф), к единицам удельного сопротивления осуществляется с помощью графика.
- В скважинах, заполненных минерализованной промывочной жидкостью, производится учет искажения сигнала за счет влияния эксцентриситета на показания трех коротких зондов с по-мощью графиков
- Учет этого фактора производится по одному из графиков, в зависимости от положения прибора в стволе скважины - соосного или смещенного на стенку скважины.
- Наибольшее влияние эксцентриситета проявляется при заполнении ствола скважины минерали-зованным буровым раствором (рс « 0,2 Ом-м).
- В этом случае следует учитывать вытеснение корпусом прибора части прово-дящей промывочной жидкости и при внесении поправки за эксцентриситет
- Следует отметить, что значение этой поправки не превышает погрешности измерения в диапазоне 2-20 Ом-м и влияние ее становится более существенным для коротких зондов при значениях р", превышающих 50-60 Ом-м.

Двойной индукционный (Dual Induction) – боковой (SFL) - ПС (SP) каротажи – определение электрических параметров пласта.

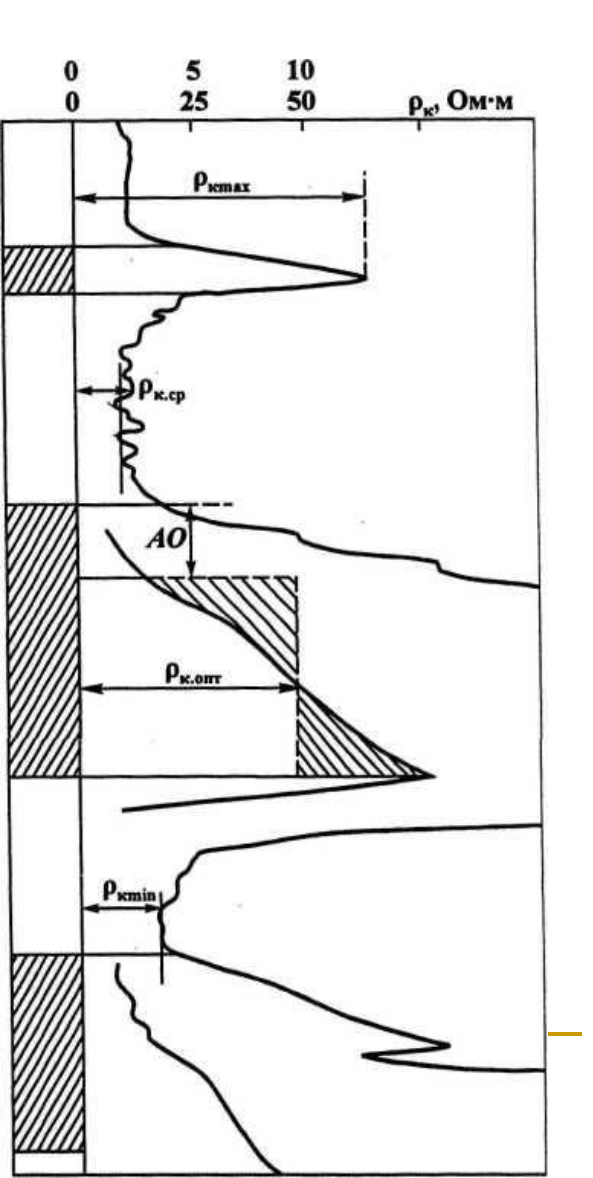


ОПРЕДЕЛЕНИЕ УДЕЛЬНОГО СОПРОТИВЛЕНИЯ ПЛАСТОВ ПО ДАННЫМ БОКОВОГО ЭЛЕКТРИЧЕСКОГО ЗОНДИРОВАНИЯ (БЭЗ)

- Боковое электрическое зондирование представляет собой исследование скважины серией зондов, имеющих различные размеры, от которых зависит глубина исследования. Будем рассматривать методику интерпретации данных БЭЗ, выполненных серией градиент-зондов.
- Размер наименьшего градиент-зонда выбирается близким к диаметру скважины, а каждый последующий зонд должен быть в 2-2,5 раза больше предыдущего.
- Размер наибольшего градиент-зонда обычно не превышает
 8 м.
- Для лучшего определения границ пластов в боковое зондирование, проводимое последовательными градиентзондами, включается один обращенный градиент-зонд, и наоборот

- Первичная обработка данных БЭЗ заключается в выделении наиболее однородных пластов, для которых возможна количест-венная интерпретация.
- Границы пластов определяются обычным способом по диаграммам рк стандартных и малых зондов БЭЗ.
- В сложных случаях границы уточняются по сочетанию диаграмм последовательного и обращенного зондов, микрозондов, каверномера, потенциалов собственной поляризации и других методов.
- По результатам интерпретации диаграмм всего применяемого комплекса геофизических методов делают заключение о литологических особенностях пород разреза и выявляют объекты, представляющие интерес для количественной интерпретации данных БЭЗ.

При интерпретации данных бокового электрического зондирования для каждого исследуемого пласта строится фактическая кривая зависимости кажущегося сопротивления от размера зонда.



Значения р_к снимаются с диаграмм, записанных разными зондами БЭЗ.

При этом следует придерживаться правил, учитывающих влияние на вели-чину \mathbf{p}_{κ} удельного сопро-тивления пласта \mathbf{p}_{κ} , и вмещающих пород $\mathbf{p}_{\mathrm{вм}}$, а также толщины пласта h, диаметра скважины d_c и размера градиент-зонда AO.

1.При $p_n > p_{вм}$ и $h/d_c > > 16-25$ наиболее целесообразно снимать оптимальные значения $p_{копт}$

Для этого, определяют среднее кажущееся сопротивление в интервале пласта, равном (h - AO).

Интервал, соответствующий длине зонда, вычитается из толщины пласта со стороны минимума (от кровли пласта при последовательном градиент-зонде, от подошвы - при обращенном).

2. При p_n , мало отличающемся от сопротивления вмещающих пород, и h/dc > 16-25 следует снимать средние значения кажуще-гося сопротивления $p_{\text{кср}}$ в средней части пласта.

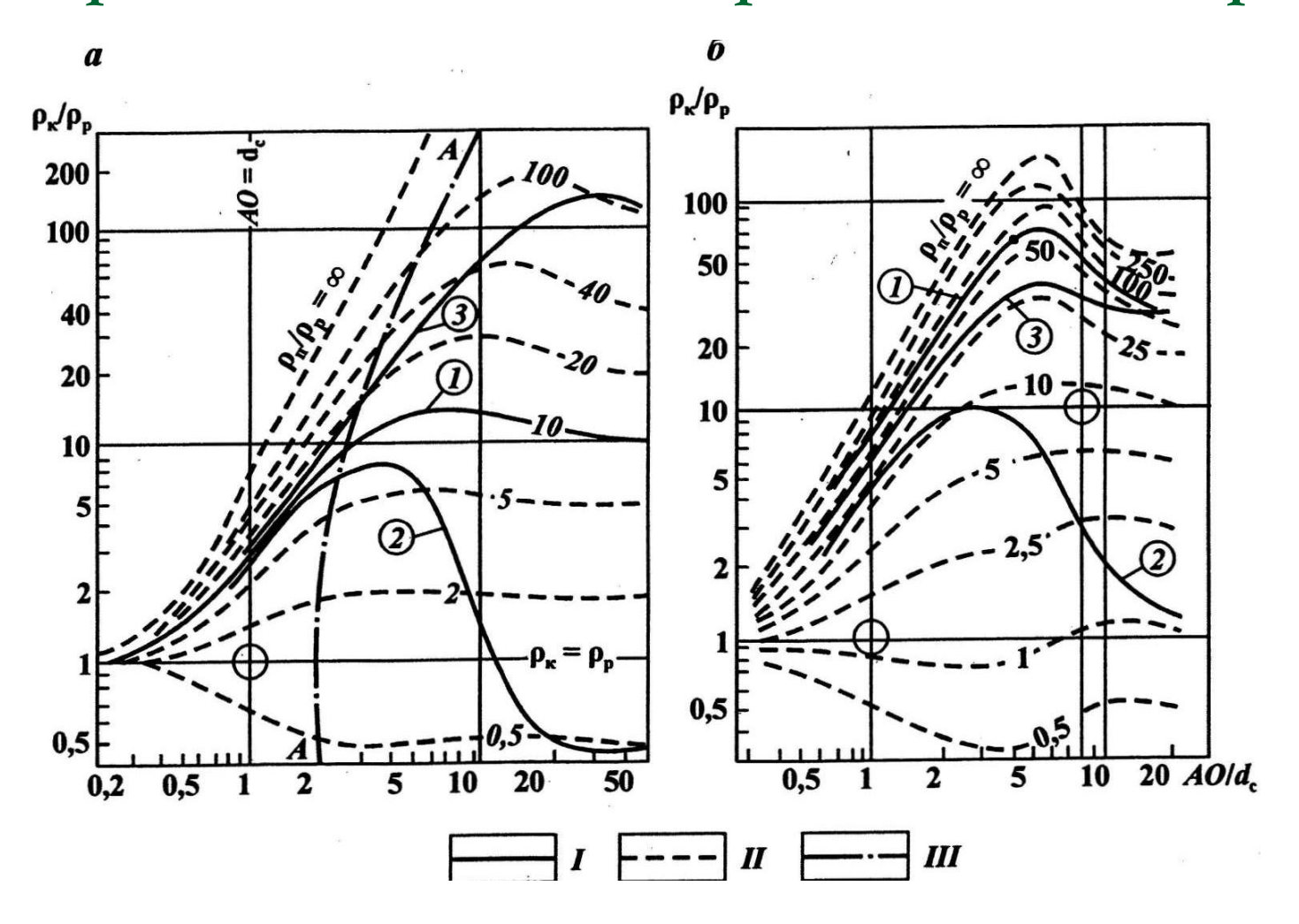
При $h < 16 \ d_c$ (3-5 м) целесообразно снимать экстремальные значения Ркмах, если $p_n > p_{\rm BM}$ и p_{Kmia} , если $p_n < p_{\rm BM}$.

Данные БЭЗ по объектам интерпретации вносятся в таблицу

При интерпретации данных БЭЗ используется прием совмещения фактической кривой зондирования с палеточными кривыми

- Чтобы выбрать соответствующую палетку, необходимо установить тип фактической кривой зондирования.
- В некоторых случаях тип кривой и нужную палетку устанавливают по ряду явных признаков, а если их бывает недостаточно, то тип кривой определяют только после сопоставления фактической кривой зондирования с двухслойной палеткой

Типы кривых бокового электрического зондирования:



а- h = ∞ б-h= 8 dc. ρвм= 10p; / - типичные кривые зондирования (цифры в кружках): 1 - двухслойные, 2 - Dp < pя > Po, 3 - Pp < Pзп < Pп; // - двухслойные палеточные кривые; /// геометрическое место точек на палетке, где ρк/ ρр = ρп/ ρ р (кривая AA)

Контрольные вопросы

- 1. Основные параметры получаемые в результате интерпретации электрического каротажа
- 2. Какая дополнительная информация используется для интерпретации кривых электрического каротажа
- 3. Как определяют сопротивление бурового раствора?
- 4. Методика определения сопротивления фильтрата бурового раствора
- 5. Методика определения сопротивления промытой зоны пласта
- 6 Решите задачу на слайде 9
- 7.Как определяется толщина глинистой корки
- 8. Принцип литологического расчленения по кривым электрического каротажа
- 9. Методика определения сопротивления пласта по кривым КС
- 10. Методика определения сопротивления пласта по кривым ИК